



تحلیل ترمودینامیکی سیستم تولید توان بر مبنای پیل سوختی اکسید جامد مجهز به بھساز خارجی

محرم جعفری*، محسن صادقی، سید محمد سید محمودی، مرتضی یاری

دانشکده فنی مهندسی مکانیک، دانشگاه تبریز، تبریز، ایران

تاریخچه داوری:

دریافت: ۱۳۹۸-۰۲-۰۴

بازنگری: ۱۳۹۸-۰۴-۱۸

پذیرش: ۱۳۹۸-۰۶-۳۱

راهن آنلاین: ۱۳۹۸-۰۷-۰۹

كلمات کلیدی:

سیستم تولید توان
پیل سوختی اکسید جامد
بھساز خارجی
هیدروژن
تحلیل ترمودینامیکی

خلاصه: فرآیند بھسازی سه گانه، از نقطه نظر قابلیت استفاده مستقیم از گازهای خروجی سیستم‌های تولید توان در فرآیند بھسازی و تولید گاز سنتز با نسبت هیدروژن به مونواکسید کربن بالا بسیار حائز اهمیت می‌باشد. در تحقیق حاضر، یک سیستم تولید توان بر مبنای پیل سوختی اکسید جامد و مجهز به بھساز خارجی پیشنهاد شده و از نظر ترمودینامیکی مطالعه شده است. به منظور انجام فرآیند بھسازی خارجی متنان، گازهای خروجی سیستم در بھساز بازخورانی شده و از بخار آب، دی‌اکسید کربن و اکسیژن موجود در گازهای خروجی سیستم به عنوان عوامل بھسازی استفاده شده است. تاثیر پارامترهای مهم سیستم از قبیل چگالی جریان و دمای کاری پیل سوختی اکسید جامد بر روی شاخصهای عملکردی سیستم از قبیل انواع ولتاژ و افت ولتاژها، دبی جرمی سوخت و آب و هوای ورودی به سیستم، توان تولیدی پیل سوختی، بازده انرژی و اگزرسی سیستم بررسی شده است. نتایج حاصل از مطالعه پارامتریک نشان می‌دهد که به ازای مقادیر پایین چگالی جریان (۱۰۰۰ آمپر بر مترمربع) و دمای کاری بالای پیل سوختی اکسید جامد (۹۰۰ درجه سلسیوس)، دبی جرمی سوخت مصرفی کاهش پیدا کرده و در نتیجه بازده انرژی و اگزرسی سیستم تا بیشینه مقدار ۰/۰۴ و ۰/۱۱ درصد به ترتیب افزایش می‌یابد.

پیل سوختی اکسید جامد، قابلیت عملکرد آن در دماهای بالا است. این ویژگی سبب می‌شود که پیل سوختی اکسید جامد را بتوان با انواع فرآیندهای بھسازی کوپل نمود که امکان استفاده از سوخت‌های متنوع را به ارمنان می‌آورد [۲]. از این‌رو مطالعات متعددی به بررسی تاثیر انواع فرآیندهای بھسازی، گازسازی و بازخورانی گازهای خروجی^۱ بر روی عملکرد سیستم‌های تولید توان بر مبنای پیل سوختی اکسید جامد انجام شده است. دیتریچ و همکاران [۳] در یک تحقیق تجربی، تاثیر بازخورانی گازهای خروجی آند و استفاده از آن در فرآیند بھسازی سوخت را بر روی عملکرد یک سیستم تولید توان بر مبنای پیل سوختی اکسید جامد با سوخت پروپان، بررسی نمودند. نتایج آزمایشگاهی نشان داد که بازده انرژی سیستم

۱- مقدمه

افزایش نگرانی‌ها در مورد کاهش منابع سوخت‌های فسیلی و همچنین آلودگی محیط زیست، علاقه‌مندی به روش‌های تولید پر بازده انرژی را افزایش داده است. انتشار گازهای حاصل از احتراق سوخت‌های فسیلی در سیستم‌های تولید توان از منابع اصلی افزایش گازهای گلخانه‌ای در محیط زیست می‌باشد، به طوری که سالانه، ۴۷ درصد از کل دی‌اکسید کربن منتشر شده در جهان، متأثر از این عامل است [۱]. در همین راستا، در سال‌های اخیر، تحقیقات در زمینه سیستم‌های تولید توان بر مبنای پیل سوختی اکسید جامد^۲، گسترش یافته است. پیل سوختی اکسید جامد به طور مستقیم انرژی شمیایی سوخت را به انرژی الکتریکی تبدیل می‌کند. یکی از مزایای

2 Reforming
3 Gasification
4 Exhausted Gas Recycling

1 Solid Oxide Fuel Cell (SOFC)

*نویسنده عهده‌دار مکاتبات: mjafari@tabrizu.ac.ir

حقوق مؤلفین به نویسنده‌گان و حقوق ناشر به انتشارات دانشگاه امیرکبیر داده شده است. این مقاله تحت لیسانس آفرینندگی مردمی (Creative Commons License) در دسترس شما قرار گرفته است. برای جزئیات این لیسانس، از آدرس <https://www.creativecommons.org/licenses/by-nc/4.0/legalcode> دیدن فرمائید.



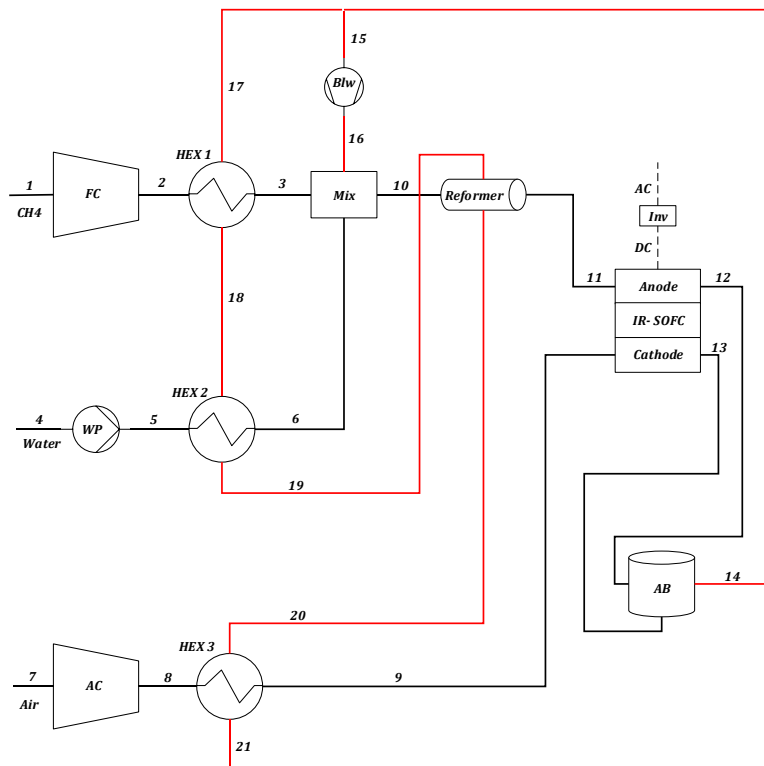
تولید گاز سنتز و بازده بهسازی حاصل می‌گردد. رکنی [۹] سیستم پیل سوختی اکسید جامد کوپل شده با موتور استرلینگ، مجهز به گازساز^۱ و تغذیه شده توسط گازهای حاصل از زباله‌های شهری را مورد مطالعه قرار داد. ایشان به این نتیجه رسید که بازده الکتریکی سیستم پیشنهادی تا ۵۰ درصد می‌رسد. مدل‌سازی ترمودینامیکی سیستم تولید توان بر مبنای پیل سوختی اکسید جامد با ظرفیت ۱۰ کیلووات و مجهز به بازخورانی گازهای خروجی آند، توسط وال و همکاران [۱۰] انجام شد. نتایج حاصل از کار ایشان نشان داد که بازخورانی گازهای خروجی آند به میزان ۶۵ درصد، موجب افزایش بازده الکتریکی سیستم به بیشینه مقدار ۵۷ درصد می‌شود. ماننتی و همکاران [۱۱] سیستم تولید توان بر مبنای پیل سوختی اکسید جامد کوپل شده با فرآیند بهسازی سه‌گانه بایوگاز را از دیدگاه انرژی مورد مطالعه قرار دادند. ایشان از آب و هوا برای بهسازی بایو گلز استفاده کردند. ویرانارونکورن و آتایام [۱۲]، به منظور تولید هیدروژن از روغن زیستی، فرآیند بهسازی بخار آب و بهسازی سه‌گانه را باهم کوپل کردند و از دیدگاه انرژی مورد مطالعه قرار دادند. ایشان گزارش نمودند که افزایش دمای بهسازی و نسبت بخار به کربن در فرآیند بهسازی تاثیر مثبت دارد و با ازای دمای بهسازی بخار برابر با ۶۵۰ درجه سلسیوس و دمای بهسازی سه‌گانه برابر با ۵۸۰ درجه سلسیوس و نسبت بخار به سوخت برابر با ۶، سیستم در شرایط بهینه کار می‌کند. بارلی و همکاران [۱۳]، یک سیستم جدید تولید توان بر مبنای پیل سوختی اکسید جامد کوپل شده با فرآیند بهسازی خشک را مورد مطالعه قرار دادند. نتایج حاصل از تحلیل انرژی نشان داد که ترکیبات با غلظت بالا، تاثیر چندانی در افزایش دمای سلول پیل سوختی ندارد. صابری مهر و همکاران [۱۴]، یک سیستم تولید همزمان بر مبنای پیل سوختی اکسید جامد با سوخت بایوگاز حاصل از پسماند فاضلاب شهری را پیشنهاد داده و از دیدگاه ترمودینامیکی و اقتصادی مطالعه کردند. ایشان به منظور تامین بخشی از گرمای مورد نیاز هاضم از انرژی خورشیدی استفاده نمودند. ایشان به این نتیجه دست یافتنند که استفاده از انرژی خورشیدی هم از نظر انرژی و هم از نظر اقتصادی باعث بهبود سیستم می‌شود. همچنین ایشان گزارش نمودند که هزینه انرژی الکتریکی تولید توسط این سیستم با هزینه برق شبکه قابل رقابت است. مطالعه جامع در مورد بازخورانی گازهای

پیل سوختی با بازخورانی گازهای خروجی آند بیشتر از بازده انرژی سیستم پیل سوختی با احتراق جزئی است. عملکرد یک سیستم تولید توان بر مبنای پیل سوختی اکسید جامد کوپل شده با فرآیند گازسازی سوخت زیست توده، توسط وانگ چانپای و همکاران [۱۴]، تحلیل شد. نتایج حاصل از کار ایشان نشان داد که به ازای نسبت بازخورانی گازهای خروجی آند برابر با ۰/۶، بازده انرژی و اگزرژی سیستم بیشینه می‌شود. ساعبا و همکاران [۱۵]، سیستم پیل سوختی کوپل شده با فرآیند بهسازی خارجی اتانول و مجهز به بازخورانی گازهای خروجی آند را تحلیل نمودند. ایشان گزارش کردند که تحت شرایط یکسان، بازخورانی گازهای خروجی آند موجب بهبود بازده الکتریکی و حرارتی سیستم می‌شود. همچنین، به ازای مقادیر بالای نسبت بازخورانی و نسبت مصرفی سوخت، مقدار تشکیل کربن روی کاتالیزگر^۲ کاهش پیدا می‌کند. تاثیر بازخورانی گازهای خروجی آند روی شاخص‌های ایمنی از جمله تشکیل کربن و اکسید نیکل در پیل سوختی اکسید جامد و همچنین روی عملکرد سیستم تولید توان بر مبنای پیل سوختی تغذیه شده توسط گازهای حاصل از سوخت زیست توده توسط لیو و همکاران [۱۶] مورد مطالعه قرار گرفت. نتایج حاکی از این بود که تحت شرایط یکسان کاری، بازده الکتریکی سیستم پیل سوختی اکسید جامد تغذیه شده از گاز طبیعی ۱۵ درصد بیشتر از بازده انرژی پیل سوختی تغذیه شده از گازهای زیست توده است. همچنین، بازخورانی گازهای خروجی آند موجب کاهش بازده الکتریکی سیستم می‌شود. لو فارو و همکاران [۱۷]، عملکرد پیل سوختی اکسید جامد کوپل شده با فرآیند بهسازی سه‌گانه^۳ بایوگاز را مورد مطالعه قرار دادند. ایشان بیان کردند که عملکرد پیل سوختی شدیداً تحت تاثیر ترکیب خوراک بهسازی شده است که این امر متاثر از عملکرد کاتالیزگر فرآیند بهسازی سه‌گانه می‌باشد. نتایج حاصل از تحقیقات ایشان نشان می‌دهد که ترکیب پیل سوختی با فرآیند خارجی بهسازی سه‌گانه بایوگاز برای سیستم‌های تولید توان ثابت در مقیاس کوچک و متوسط مناسب است. والوک و همکاران [۱۸]، تاثیر اوتورمال^۴ بهسازی را روی سیستم‌های پیل سوختی با بازخورانی گازهای خروجی آند مطالعه کردند. ایشان به این نتیجه رسیدند که به ازای ۴۵ درصد بازخورانی گازهای خروجی آند، بیشینه مقدار

1 Catalyst

2 Tri-Reforming

3 Auto-Thermal



شکل ۱. طرحواره سیستم تولید توان بر مبنای پیل سوختی اکسید جامد مجهز به بهساز خارجی

Fig. 1. Schematic of the proposed power generation system based on the solid oxide fuel cell couplet to the external reforming

اجمالی ادبیات فن نشان می‌دهد که تا اکنون تمام کارهای تحقیقاتی انجام یافته در زمینه کوپل سیستم پیل سوختی اکسید جامد با بهساز^۱ خارجی^۲ به بازخورانی گازهای خروجی از آند و یا کاتد پیل سوختی محدود می‌شود و هیچ مطالعه‌ای در مورد بازخورانی گازهای خروجی از پیل سوختی اکسید جامد و استفاده از آن در فرآیند بهسازی صورت نگرفته است. از این‌رو، کار حاضر در راستای تکمیل این بخش از ادبیات فن می‌باشد. شایان ذکر است، با توجه به این‌که گازهای خروجی سیستم تولید توان شامل بخار آب، دی‌اکسید کربن و اکسیژن می‌باشد، بنابراین بهساز خارجی مورد استفاده در سیستم بر مبنای فرآیند بهسازی سه‌گانه خواهد بود.

۲- توصیف سیستم و فرضیات

طرحواره^۳ سیستم پیشنهادی در شکل ۱ نشان داده شده است. سوخت و هوا وارد سیستم شده و توسط دمنده‌های^۴ مربوطه تا فشار

خروجی آند در سیستم‌های پیل سوختی اکسید جامد با سوخت‌های متنوع توسط رکنی [۱۵] صورت گرفت. ایشان به این نتیجه رسیدند که مقدار بازخورانی گازهای خروجی آند به شدت به نوع سوخت استفاده شده در سیستم بستگی دارد و حتی در بعضی موارد هیچ نیازی به بازخورانی گازهای خروجی آند نیست. سیستم‌های پیل سوختی با سوخت گاز سنتز تحت انواع فرآیندهای بهسازی داخلی و خارجی توسط چاتراونت و همکاران [۱۶]، مورد مطالعه و مقایسه قرار گرفتند. نتایج حاصل از تحلیل انرژی نشان داد که بازده الکتریکی سیستم با بهسازی داخلی نسبت به سیستم مجهز به فرآیند بهسازی خارجی بیشتر است. چیت‌ساز و همکاران [۱۷]، عملکرد یک سیستم تولید همزمان با بهسازی داخلی و خارجی را از نظر اگزرسی و زیست محیطی مطالعه و مقایسه نمودند. نتایج حاصل از کار ایشان نشان داد که در شرایط بهینه کاری، بازده اگزرسی سیستم با فرآیند بهسازی داخلی ۹/۶ درصد بیشتر از بازده سیستم مجهز به فرآیند بهسازی خارجی است. همچنین ایشان گزارش کردند که میزان انتشار گاز دی‌اکسید کربن در سیستم با فرآیند بهسازی داخلی تقریباً ۱/۴ درصد کمتر از سیستم مجهز به فرآیند بهسازی خارجی است. بررسی

1 Reformer
2 External Reforming
3 After Burner
4 Schematic
5 Compressor

- عایق گرمایی باشند.
- تمامی گونه‌های موجود در مخلوط گازی، گاز ایده‌آل در نظر گرفته شده‌اند.
- ترکیب پیل سیستم تولید توان بر مبنای پیل سوختی اکسید جامد به ازای ۱ درصد بازخورانی گازهای خروجی پس‌سوز تحقق یافته است.
- راکتور مورد نظر، از نوع یکبعدی جریان پایا است.
- کاتالیزگر در راکتور غیرفعال نمی‌شود.
- مقاومت تماسی در الکترودهای پیل سوختی وجود ندارد.
- از افت فشار در لوله‌ها چشم‌پوشی شده است.

۳- مدل‌سازی سیستم

۳-۱- مدل‌سازی فرآیند بهسازی

با توجه به این‌که گازهای خروجی از سیستم بازخورانی شده وارد راکتور می‌شوند، بنابراین بخار آب، دی‌اکسید کربن و اکسیژن در بهسازی سوخت متان شرکت می‌کنند که بهسازی سه‌گانه نامیده می‌شود. در بهسازی سه‌گانه، بهسازی بخار مطابق با رابطه (۱)، بهسازی خشک مطابق با رابطه (۲) و احتراق جزئی متان مطابق با واکنش آورده شده در رابطه (۳) با هم ترکیب می‌شوند [۱۸]. به منظور تحلیل فرآیند بهسازی سه‌گانه و تعیین دما و ترکیب گاز سنتز خروجی از راکتور از تعادل شیمیایی و روش لاگرانژ استفاده شده است [۱۹].



این روش این مزیت را دارد که لازم نیست تمامی واکنش‌هایی که در حال وقوع هستند شناخته شده باشند. همچنین، بهینه‌سازی فرآیند از نظر کامپیوترا چالش برانگیز نبوده و حتی اگر مخلوط واکنش‌گر شامل تعداد گونه‌هایی زیادی بوده و تعداد درجات آزادی

کاری پیل سوختی فشرده می‌شوند و سپس با استفاده از حرارت گازهای خروجی پس‌سوز، پیش‌گرم می‌شوند. همچنین آب، بعد از افزایش فشار توسط پمپ^۱، از مبادله کن حرارتی مربوطه عبور کرده و بخار مافوق گرم تولید می‌شود. سوخت و هوای پیش‌گرم شده و بخار مافوق گرم با بخشی از گازهای خروجی پس‌سوز که بازخورانی و در واقع بازیافت می‌شوند، مخلوط شده و سپس جریان خروجی از مخلوط کن وارد بهساز می‌شوند. بسته به شرایط عملکردی سیستم، در صورت نیاز انرژی حرارتی لازم برای فرآیند بهسازی سه‌گانه در راکتور^۲، توسط گرمای گازهای خروجی پس سوز تامین می‌شود. گاز سنتز تولیدی و خروجی از بهساز وارد آند شده و همچنین هوای پیش‌گرم شده وارد کاتد پیل سوختی اکسید جامد می‌شود. در داخل پیل سوختی، یکبار دیگر گاز سنتز فرآیند بهسازی را تجربه می‌کند و محصولات تولیدی با غلظت بالای هیدروژن در واکنش‌های الکتروشیمیایی شرکت می‌کنند. واکنش‌های الکتروشیمیایی موجب تولید جریان مستقیم الکتریسیته می‌شوند. پس از پایان واکنش‌های الکتروشیمیایی و تولید برق، سوخت واکنش نداده و هوای اضافی به ترتیب از آند و کاتد پیل سوختی اکسید جامد خارج شده و وارد پس‌سوز می‌شوند. این دو جریان در پس‌سوز، کاملاً محترق شده و موجب تولید گازهای داغ خروجی متشكل از بخار آب، دی‌اکسید کربن، اکسیژن و نیتروژن می‌شوند. در نهایت، گازهای خروجی بازیافت می‌شوند، بخشی از آن‌ها جدا شده و بازخورانی شده و در فرآیند بهسازی سه‌گانه شرکت می‌کند و در واقع یک چرخه بسته را همیشه طی می‌کند؛ و مابقی حرارت مورد نیاز برای مبادله کن‌های حرارتی سوخت، هوا و آب و همچنین راکتور را تامین کرده و سپس از سیستم خارج می‌شود.

به منظور شبیه‌سازی سیستم‌های پیشنهادی که در نرم‌افزارهای حلگر معادلات مهندسی^۳ و آزمایشگاه ماتریس^۴ انجام شده است، فرضیات زیر در نظر گرفته شده‌اند:

- سیستم پیشنهادی در شرایط پایا کار می‌کنند
- از تغییرات انرژی پتانسیل و جنبشی صرف‌نظر شده است.
- تمامی مبادله کن‌های حرارتی، راکتور و پیل سوختی، اجزایی

1 Pump

2 Reactor

3 Engineering Equation Solver (EES)

4 Matrix Laboratory

با λ نشان داده می‌شود و به مشتق کلی G افزوده می‌شود. با توجه به این که مشتق کلی هر معادله برابر با صفر است، اضافه کردن مشتق کلی هر معادله به مشتق G ، با ضرب کردن یا بدون ضرب کردن ان در مقدارش، نبایستی مقدار مشتق G را عوض کند:

$$dG + \sum_{j=1}^E \lambda_j d\psi_j = 0 \quad (9)$$

با ترکیب معادلات فوق خواهیم داشت:

$$dG = \sum_{i=1}^C \mu_i dn_i + \sum_{j=1}^E \lambda_j \sum_{i=1}^C \left(\frac{\partial \psi_j}{\partial n_i} \right)_{n_j, j \neq i} dn_i = 0 \quad (10)$$

معادله فوق را می‌توان به صورت زیر مرتب نمود:

$$dG = \sum_{i=1}^C \left[\mu_i + \sum_{j=1}^E \lambda_j \left(\frac{\partial \psi_j}{\partial n_i} \right)_{n_j, j \neq i} \right] dn_i = 0 \quad (11)$$

تنها راه اطمینان از این که مشتق کل، dG همیشه صفر است، این است که عبارات داخل پرانتز برای هر ترم در شبیه‌سازی برابر با صفر باشد:

$$\mu_i + \sum_{j=1}^E \lambda_j \left(\frac{\partial \psi_j}{\partial n_i} \right)_{n_j, j \neq i} = 0 \quad \text{for } i = 1 \dots C \quad (12)$$

بنابراین می‌توان به نتیجه نهایی زیر رسید:

$$\mu_i + \sum_{j=1}^E \lambda_j e_{i,j} = 0 \quad \text{for } i = 1 \dots C \quad (13)$$

بسته به این که تعداد مول‌های هر ماده چه تعداد باشد، روند کار با تعداد C مجهول شروع می‌شود. در روش لاغرانژ، تعداد E مجهول نیز به دلیل ضرایب نامعین لاغرانژ λ اضافه می‌شود. بنابراین در کل به تعداد $C+E$ مجهول وجود خواهد داشت. همچنین تعداد معادلات نیز به تعداد $C+E$ موجود است. در رابطه فوق، λ_j ضرایب لاغرانژ بوده و $e_{i,j}$ نشان‌دهنده شماره زامین اتم در i امین گونه است. همچنین رابطه (۱۴)، بالانس انرژی برای راکتور را نشان می‌دهد.

$$\sum_{j=1}^5 n_{10} \bar{h}_{10} = \sum_{j=1}^6 n_{11} \bar{h}_{11} \quad (14)$$

برای مسئله بهینه‌سازی افزایش یابد، معمولاً این روش همگرا می‌شود. این روش برای حل مسائل تعادل شیمیایی بسیار کاربردی است. انرژی آزاد گیپس^۱ یک سیستم شمیایی واکنش‌گر در دما و فشار مشخص به صورت تابعی از تعداد مول‌های هر ماده n_i می‌باشد:

$$G = \sum_{i=1}^C n_i \mu_i \quad (4)$$

هدف تعیین تعداد مول‌هایی از هر ماده است که مینیمم مقدار انرژی آزاد گیپس را نتیجه می‌دهند. بنابراین، مشتق G در دما و فشار داده شده و در حالت تعادل باید صفر شود:

$$dG = \sum_{i=1}^C \mu_i dn_i = 0 \quad (5)$$

اگر هیچ‌گونه محدودیت و قیدی وجود نداشته باشد، می‌توان مینیمم مقدار G را با صفر قرار دادن پتانسیل شیمیایی هر ماده، تعیین نمود. با این وجود، تعداد مول‌های هر ماده، n_i متغیرهای مستقل نیستند، زیرا تعداد مول‌های هر المان (اتم) بایستی ثابت باقی بماند. بنابراین می‌توان نوشت:

$$\psi_i = \sum_{i=1}^C n_i e_{i,j} - E_{0,j} = 0 \quad \text{for } j = 1 \dots E \quad (6)$$

که در آن $E_{0,j}$ تعداد مول‌های هر المان است که ابتدا در مخلوط وجود دارد. تابع ψ_i فقط به تعداد مول‌های هر ماده بستگی دارد؛ بنابراین مشتق کلی تابع ψ_i به صورت زیر خواهد بود:

$$d\psi_j = \sum_{i=1}^C \left(\frac{\partial \psi_j}{\partial n_i} \right)_{n_j, j \neq i} dn_i = 0 \quad \text{for } j = 1 \dots E \quad (7)$$

که در آن، مشتق جزئی ψ_j نسبت به n_i بایستی برابر با $e_{i,j}$ یعنی تعداد مول‌های المان (اتم) j در ماده i باشد:

$$\left(\frac{\partial \psi_j}{\partial n_i} \right)_{n_j, j \neq i} = e_{i,j} \quad (8)$$

در روش لاغرانژ، مشتق کلی هر معادله، ضریب نامعینی است که

¹ Gibbs

جدول ۱. معادلات حاکم بر بالанс مولی برای پیل سوختی

Table 1. The governing equations on the molar balance of the SOFC

خروجی کاتد		خروجی آند	
(۲۴)	$\dot{n}_{O_2,13} = \dot{n}_{O_2,9} - o_r / 2$	(۱۸)	$\dot{n}_{CH_4,12} = \dot{n}_{CH_4,11} - r_r$
(۲۵)	$\dot{n}_{N_2,13} = \dot{n}_{N_2,9}$	(۱۹)	$\dot{n}_{H_2O,12} = \dot{n}_{H_2O,11} - r_r - s_r + o_r$
		(۲۰)	$\dot{n}_{CO_2,12} = \dot{n}_{CO_2,11} + s_r$
		(۲۱)	$\dot{n}_{CO,12} = \dot{n}_{CO,11} + r_r - s_r$
		(۲۲)	$\dot{n}_{H_2,12} = \dot{n}_{H_2,11} + 3r_r + s_r - o_r$
		(۲۳)	$\dot{n}_{N_2,12} = \dot{n}_{N_2,11}$

که در آن (U_f) ضریب مصرف سوخت است. ضریب مصرف هوای (U_{air}) نیز به صورت زیر تعریف می‌گردد:

$$U_a = \frac{(Air)_{consumed}}{(Air)_{supplied}} = \frac{o_r}{2\dot{n}_{O_2,9}} \quad (27)$$

ثابت‌های تعادلی نیز برای واکنش‌های بهسازی و شیفتینگ به صورت زیر بیان می‌شوند [۲۱]:

$$K_r = \exp\left(\frac{y_{CO,12} y_{H_2,12}^3}{y_{CH_4,12} y_{H_2O,12}}\left(\frac{P_{12}}{P_0}\right)^2\right) \quad (28)$$

که در آن K_r ثابت تعادلی مربوط به واکنش بهسازی است که از طرفی داریم:

$$k_r = \exp\left(-\frac{\Delta \bar{g}_r^0}{RT_{12}}\right) \quad (29)$$

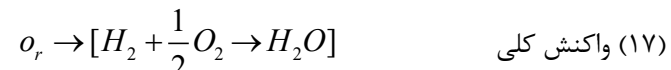
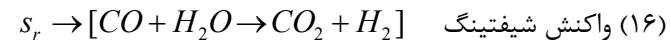
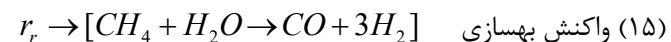
که در آن، T_{12} دمای خروجی آند و کاتد پیل سوختی بوده و $\Delta \bar{g}_r^0$ تغییرات انرژی آزاد گیبس^۱ واکنش بهسازی است که به شکل زیر تعریف می‌گردد:

$$\Delta \bar{g}_r^0 = \bar{g}_{CO,12}^0 + 3\bar{g}_{H_2,12}^0 - \bar{g}_{CH_4,12}^0 - \bar{g}_{H_2O,12}^0 \quad (30)$$

همچنین ثابت تعادلی برای واکنش شیفتینگ به ترتیب روابط (۳۱) و (۳۲) تعریف می‌گردد:

۱-۳-۲-۱- مدل‌سازی پیل سوختی

گاز سنتز ورودی به پیل سوختی با طی واکنش‌های بهسازی و شیفتینگ^۲ (روابط (۱۵) و (۱۶)) تبدیل به گاز سنتز غنی شده با هیدروژن^۳ می‌شود. همچنین، به واسطه واکنش‌های الکتروشیمیایی، هیدروژن تولید شده در آند و یون اکسیژن تبادلی از طریق الکتروولیت که از کاتد به آند می‌رود، واکنش کلی^۴ (رابطه (۱۷)) پیل سوختی رخ می‌دهد [۲۰]:



در معادلات فوق s_r , r_r و o_r به ترتیب نرخ تبدیل مولی واکنش‌های بهسازی، شیفتینگ و کلی هستند. با در نظر گرفتن پیل سوختی به عنوان حجم کنترل و به کار بردن معادلات بقای جرم برای واکنش‌های (۱۵) الی (۱۷)، معادلات بالанс مولی برای پیل سوختی استخراج می‌شوند، که در جدول ۱ آورده شده است. هیدروژن مصرف شده در پیل سوختی به صورت زیر می‌تواند تعریف شود:

$$U_f = \frac{(Fuel)_{consumed}}{(Fuel)_{supplied}} = \frac{o_r}{\dot{n}_{H_2,11} + 3r_r + s_r} \quad (26)$$

1 Shifting

2 Hydrogen Rich Syngas

3 Overall

$$\rho_a = \left[\frac{9.5 \times 10^7}{T_{12}} \exp\left(\frac{-1150}{T_{12}}\right) \right]^{-1}, \quad L_a = 0.0005 \quad (37)$$

$$k_s = \exp\left(\frac{y_{CO_2,12} y_{H_2,12}}{Y_{CO,12} Y_{H_2O,12}}\right) \quad (31)$$

$$\rho_c = \left[\frac{4.2 \times 10^7}{T_{12}} \exp\left(\frac{-1200}{T_{12}}\right) \right]^{-1}, \quad L_c = 0.00005 \quad (38)$$

$$k_s = \exp\left(-\frac{\Delta \bar{g}_s^0}{RT_{12}}\right) \quad (32)$$

$$\rho_e = \left[33400 \exp\left(\frac{-10300}{T_{12}}\right) \right]^{-1}, \quad L_e = 0.00001 \quad (39)$$

که در آن، $\Delta \bar{g}_r^0$ تغییرات انرژی آزاد گیبس واکنش بهسازی است که به شکل زیر تعریف می‌گردد:

$$\rho_{int} = \left[\frac{9.3 \times 10^6}{T_{12}} \exp\left(\frac{-1100}{T_{12}}\right) \right]^{-1}, \quad L_{int} = 0.003 \quad (40)$$

$$\Delta \bar{g}_s^0 = \bar{g}_{CO_2,12}^0 + \bar{g}_{H_2,12}^0 - \bar{g}_{CO,12}^0 - \bar{g}_{H_2O,12}^0 \quad (33)$$

در روابط فوق ρ و L به ترتیب نشان دهنده مقاومت الکتریکی و ضخامت اجزای مختلف سلول می‌باشند. J نیز چگالی جریان است. همچنین اندیس‌های a و c و e و int نشانگر آند و کاتد و الکتروولیت^۷ و اتصالات آن‌ها با هم^۸ است.

۳-۲-۳- افت ولتاژ فعال سازی^۹
افت ولتاژ فعال سازی در فصل مشترک الکتروودها (کاتد و آند) و الکتروولیت اتفاق می‌افتد که توسط معادلات زیر بیان می‌شود [۲۴]:

$$V_{act} = V_{act,a} + V_{act,c} \quad (41)$$

$$V_{act,a} = \bar{R} \frac{T_{12}}{F} \operatorname{Arcsin}\left(\frac{j}{2j_{oa}}\right), \quad j_{oa} = 0.65 \times 10^4 \quad (42)$$

$$V_{act,c} = \bar{R} \frac{T_{12}}{F} \operatorname{Arcsin}\left(\frac{j}{2j_{oc}}\right), \quad j_{oc} = 0.25 \times 10^4 \quad (43)$$

۳-۲-۵- افت ولتاژ غلظتی^{۱۰}
زمانی که جریان در پیل سوختی برقرار می‌شود، اختلاف غلظت گونه‌ها در سه ناحیه آند، کاتد و الکتروولیت افزایش می‌یابد و موجب ایجاد افت ولتاژ غلظتی می‌شود که توسط روابط (۴۴) تا (۴۸) تعریف می‌گردد [۲۵]:

۳-۲-۴- ولتاژ سلول^۱

ولتاژ نرنست^۲ (رابطه (۳۴)، بیشترین ولتاژ قابل حصول از پیل سوختی است زمانی که هیچ جریان الکتریکی در آن برقرار نباشد. پس، به دلیل وجود انواع افت ولتاژ^۳، مقدار واقعی ولتاژ سلول کمتر از ولتاژ مدار باز آن است که به صورت رابطه (۳۵) بیان می‌شود [۲۲]:

$$V_n = -\frac{\Delta \bar{g}^0}{2F} + \bar{R} \frac{T_{12}}{2F} \ln\left(\frac{(P_{o_2,12} / P_0)^{0.5}}{P_{H_2O,12} / P_0}\right) \quad (34)$$

$$V_c = V_n - V_{loss} = V_n - (V_{ohm} + V_{act} + V_{con}) \quad (35)$$

در رابطه (۳۴)، T_{12} ، F ، $\Delta \bar{g}^0$ و R به ترتیب اختلاف انرژی آزاد گیبس، ثابت فارادی^۴، ثابت جهانی گازها^۵ و دمای خروجی پیل سوختی است.

۳-۲-۳- افت ولتاژ اهمیک^۶

افت ولتاژ اهمیک یکی از مهمترین پارامترها در انواع پیلهای سوختی است که توسط روابط (۳۶) تا (۴۰) بیان می‌شود [۲۳]:

$$V_{ohm} = (\rho_a L_a + \rho_c L_c + \rho_e L_e + \rho_{int} L_{int}).J \quad (36)$$

1 Cell Voltage

2 Nernst

3 Polarization

4 Faraday Constant

5 Gas Universal Constant

6 Ohmic Polarization

7 Electrolyte

8 Interconnect

9 Activation Polarization

10 Concentration Polarization

است که به ترتیب برابر با ۹۸ درصد و ۱۱۰۰ در نظر گرفته شده‌اند.
نیز بیانگر جریان الکتریکی عبوری از پیل سوختی است که مطابق

رابطه (۵۲) تعریف می‌شود:

$$I = j \times A_c \quad (۵۲)$$

$$j = 2Fo_r / N_c A_c \quad (۵۲)$$

که در آن، A_c مساحت سطح مقطع هر سلول پیل سوختی است.

۴-۲- تحلیل اگزرژی

اگزرژی به صورت بیشینه کار قابل حصول از تعامل یک سیستم و محیط تعریف می‌شود، به طوری که سیستم مورد نظر از یک حالت مشخص ترمودینامیکی به حالت مرده برسد و در طی آن با محیط اطراف خود فقط تبادل گرما داشته باشد [۲۷]. موازنۀ آهنگ اگزرژی برای یک حجم کنترل به صورت زیر بیان می‌شود [۲۸و۲۹]:

$$0 = \sum_j \left(1 - \frac{T_0}{T_j} \right) \dot{Q}_j - \left(\dot{W}_{cv} - p_0 \frac{dV_{cv}}{dt} \right) + \sum_i \dot{Ex}_i - \sum_e \dot{Ex}_e - \dot{I}_{D,K} \quad (۵۳)$$

معادلات بالانس انرژی و اگزرژی به کار رفته برای برای تحلیل ترمودینامیکی سیستم در جدول ۲ آورده شده‌اند. بازده اگزرژی سیستم مورد مطالعه نیز به صورت رابطه (۵۴) تعریف می‌شود.

$$\eta_{ex} = \frac{\dot{W}_{AC,inv} - \dot{W}_{FC} - \dot{W}_{WP} - \dot{W}_{AC} - \dot{W}_{Blw}}{\dot{m}_{fuel} LHV_{fuel}} \times 100 \quad (۵۴)$$

۵- اعتباردهی نتایج حاصل از مدل‌سازی پیل سوختی اکسید جامد

برای اعتباردهی نتایج حاصل از مدل‌سازی پیل سوختی اکسید جامد، از داده‌های آزمایشگاهی تاو و همکاران [۳۰] استفاده شده است که در جدول ۳ آورده شده است.

۶- نتایج و بحث

در این بخش، تاثیر پارامترهای مهم طراحی از قبیل چگالی جریان و دمای کاری پیل سوختی، به ازای ۱ درصد بازخورانی

$$V_{conc} = V_{conc,a} + V_{conc,c} \quad (۴۴)$$

$$V_{conc,a} = \bar{R} \frac{T_{12}}{2F} \left(-\ln\left(1 - \frac{j}{j_{as}}\right) + \ln\left(1 + \frac{P_{H_2,12}j}{P_{H_2O,12}j_{as}}\right) \right) \quad (۴۵)$$

$$V_{conc,c} = -\frac{\bar{R}T_{12}}{4F} \ln\left(1 - \frac{j}{j_{cs}}\right) \quad (۴۶)$$

$$j_{as} = \frac{2FP_{H_2,12}D_{aef}100000}{\bar{R}T_{12}L_a}, \quad D_{aef} = 0.2 \times 10^{-4} \quad (۴۷)$$

$$j_{cs} = \frac{4FP_{O_2,13}D_{ceff}100000}{(\frac{P_{13} - P_{O_2,13}}{P_{13}})\bar{R}T_{12}L_c}, \quad D_{ceff} = 0.05 \times 10^{-4} \quad (۴۸)$$

در روابط فوق، D_{ceff} و D_{aef} به ترتیب ضریب نفوذ گازی موثر در آند و کاتد را نشان می‌دهند.

۴- تحلیل ترمودینامیکی

۴-۱- تحلیل انرژی

معادله بالانس انرژی برای هریک از اجزای سیستم پیشنهادی بر اساس رابطه (۴۹) بیان می‌شود [۲۶]:

$$\dot{Q}_{cv} + \sum_i \dot{H}_i = \dot{W}_{cv} + \sum_e \dot{H}_e \\ \dot{H}_k = \dot{m}_k h_k \quad (۴۹)$$

در معادله فوق، \dot{Q}_{cv} و \dot{W}_{cv} به ترتیب نشانگر انتقال حرارت و کار از حجم کنترل مورد مطالعه هستند. بازده انرژی سیستم مورد مطالعه نیز مطابق رابطه زیر تعریف می‌گردد:

$$\eta_{en} = \frac{\dot{W}_{AC,inv} - \dot{W}_{FC} - \dot{W}_{WP} - \dot{W}_{AC} - \dot{W}_{Blw}}{\dot{m}_{fuel} LHV_{fuel}} \times 100 \quad (۵۰)$$

در رابطه فوق، LHV_{fuel} ارزش حرارتی پایین سوخت متان است. همچنین $\dot{W}_{AC,inv}$ کار تولیدی خالص توسط پیل سوختی است، که به صورت زیر بیان می‌شود:

$$\dot{W}_{AC,inv} = \eta_{inv} \times N_c \times V_c \times I \quad (۵۱)$$

که در آن، η_{inv} بازده مبدل و N_c تعداد سلول پیل سوختی

جدول ۲. معادلات بالانس انرژی و اگزرزی برای اجزای مختلف چرخه

Table. 2. The energy and exergy balance equations for the system components

جزء	معادله بالانس اگزرزی	معادله بالانس انرژی
دمنده سوخت	$\dot{E}x_1 + \dot{W}_{FC} = \dot{E}x_2 + \dot{I}_{FC}$	$\dot{H}_1 + \dot{W}_{FC} = \dot{H}_2$
پمپ آب	$\dot{E}x_4 + \dot{W}_{WP} = \dot{E}x_5 + \dot{I}_{WP}$	$\dot{H}_4 + \dot{W}_{WP} = \dot{H}_5$
دمنده هوای	$\dot{E}x_7 + \dot{W}_{AC} = \dot{E}x_8 + \dot{I}_{AC}$	$\dot{H}_7 + \dot{W}_{AC} = \dot{H}_8$
دمنده	$\dot{E}x_{15} + \dot{W}_{Blw} = \dot{E}x_{16} + \dot{I}_{Blw}$	$\dot{H}_{15} + \dot{W}_{Blw} = \dot{H}_{16}$
مبادله کن حرارتی ۱	$\dot{E}x_2 + \dot{E}x_{17} = \dot{E}x_3 + \dot{E}x_{18} + \dot{I}_{HEX1}$	$\dot{H}_2 + \dot{H}_{17} = \dot{H}_3 + \dot{H}_{18}$
مبادله کن حرارتی ۲	$\dot{E}x_5 + \dot{E}x_{18} = \dot{E}x_6 + \dot{E}x_{19} + \dot{I}_{HEX2}$	$\dot{H}_5 + \dot{H}_{18} = \dot{H}_6 + \dot{H}_{19}$
مبادله کن حرارتی ۳	$\dot{E}x_8 + \dot{E}x_{20} = \dot{E}x_9 + \dot{E}x_{21} + \dot{I}_{HEX3}$	$\dot{H}_8 + \dot{H}_{20} = \dot{H}_9 + \dot{H}_{21}$
مخلوط کن	$\dot{E}x_3 + \dot{E}x_6 + \dot{E}x_{16} = \dot{E}x_{10} + \dot{I}_{Mix}$	$\dot{H}_3 + \dot{H}_6 + \dot{H}_{16} = \dot{H}_{10}$
بهساز	$\dot{E}x_{19} = \dot{E}x_{20} + \dot{I}_{Ref}$	$\dot{H}_{19} = \dot{H}_{20}$
پیل سوختی	$\dot{E}x_9 + \dot{E}x_{11} = \dot{E}x_{12} + \dot{E}x_{13} + \dot{W}_{stack}$	$\dot{H}_9 + \dot{H}_{11} = \dot{H}_{12} + \dot{H}_{13} + \dot{W}_{stack}$
پس سوز	$\dot{E}x_{12} + \dot{E}x_{13} = \dot{E}x_{14} + \dot{I}_{Ref}$	$\dot{H}_{12} + \dot{H}_{13} = \dot{H}_{14}$

جدول ۳. اعتباردھی نتایج حاصل از مدل‌سازی پیل سوختی اکسید جامد با استفاده از داده‌های آزمایشگاهی Tao و همکاران [۳۰]

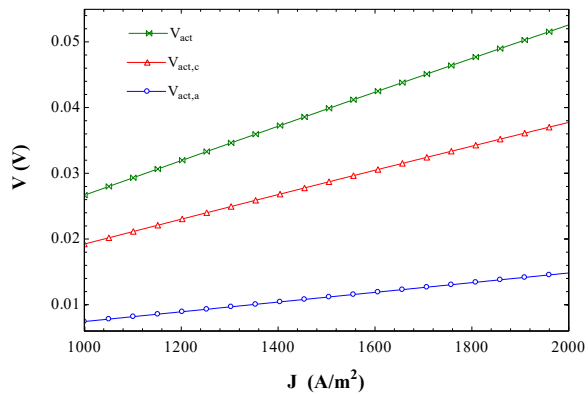
Table. 3. Validation of the results regarding the SOFC modeling using the experimental data reported by Tao et al. [30]

چگالی جریان (آمپر بر سانتی‌متر مربع)	ولتاژ سلول بر حسب ولت (کار حاضر)	ولتاژ سلول بر حسب ولت (تاو و همکاران)	چگالی توان بر حسب کیلووات بر مترمربع (کار حاضر)	توان بر حسب کیلووات بر مترمربع (تاو و همکاران)
۰/۲	۰/۷۹	۰/۷۶	۰/۱۵۸	۰/۱۵
۰/۳	۰/۷۱۱	۰/۶۸	۰/۲۱۶	۰/۲۱
۰/۴	۰/۶۴۴	۰/۶۲	۰/۲۵۳	۰/۲۶
۰/۵	۰/۵۶	۰/۵۷	۰/۲۸۸	۰/۲۹۵
۰/۶	۰/۵۱	۰/۵۲	۰/۳	۰/۳۱۵

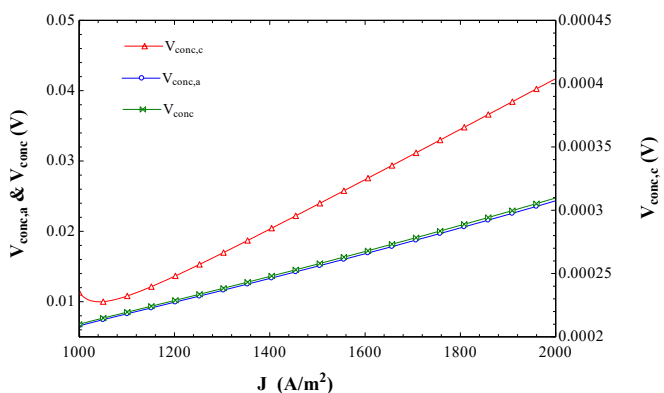
۱-۶- مطالعه پارامتریک تاثیر چگالی جریان

شکل ۲، تاثیر چگالی جریان را روی افت ولتاژ فعال‌سازی پیل سوختی اکسید جامد، به ازای دمای کاری پیل برابر با ۸۵۰ درجه سلسیوس، ضریب مصرف سوخت ۰/۸۵ و نسبت بخار به کربن برابر با

گازهای خروجی سیستم، روی شاخصه‌های عملکردی سیستم شامل انواع ولتاژ و افت ولتاژ داخل پیل سوختی، دبی جرمی سوخت، آب و هوا و ورودی به سیستم، توان تولیدی سیستم و بازده انرژی و اگزرزی سیستم بررسی شده است.



شکل ۲. تاثیر چگالی جریان روی افت ولتاژ فعال‌سازی پیل سوختی اکسید جامد، به ازای دمای کاری پیل برابر با ۸۵۰ درجه سلسیوس
Fig. 2. Current density effects on the activation voltage losses at the SOFC operating temperature of 850 °C



شکل ۳. تاثیر چگالی جریان روی افت ولتاژ غلظتی پیل سوختی اکسید جامد، به ازای دمای کاری پیل برابر با ۸۵۰ درجه سلسیوس
Fig. 3. The current density effects on the concentration voltage losses at the SOFC operating temperature of 850 °C

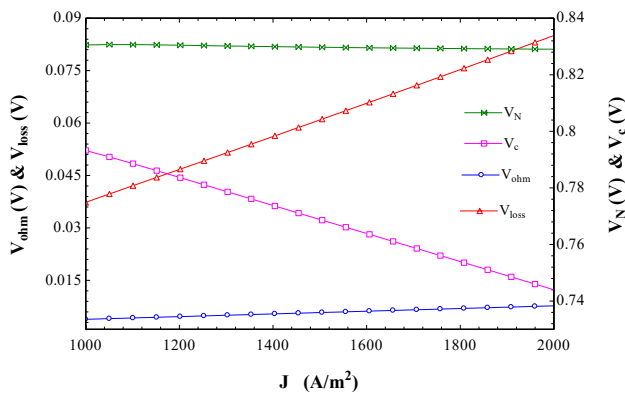
همچنین ولتاژهای نرنست و سلول به ازای دمای کاری پیل برابر با ۸۵۰ درجه سلسیوس، ضریب مصرف سوخت ۰/۸۵ و نسبت بخار به کربن برابر با ۲ نشان می‌دهد. با توجه به این شکل، با افزایش ولتاژ چگالی جریان، افت ولتاژ اهمیک بیشتر می‌شود، که این امر با توجه به رابطه (۳۶) کاملاً قابل توجیه است. از طرفی، افت ولتاژ کل نیز به دلیل افزایش هر سه نوع افت ولتاژ، زیاد می‌شود. افزایش افت ولتاژ کل از یک طرف و کاهش ولتاژ نرنست از طرف دیگر، موجب کاهش ولتاژ سلول می‌شود که در شکل ۴ نشان داده شده است.

با افزایش چگالی جریان، دبی جرمی سوخت، آب و هوای ورودی به ازای شرایط ثابت ترمودینامیکی دمای پیل سوختی برابر با ۸۵۰ درجه سلسیوس، ضریب مصرف سوخت ۰/۸۵ و نسبت بخار به کربن برابر با ۲، بیشتر می‌شود، که در شکل ۵ نشان داده شده است. دلیل این روند این است که، با مراجعه به رابطه (۵۲-ب) با افزایش چگالی جریان، نرخ تبدیل مولی واکنش کلی ($O_2 + 2H_2 \rightarrow 2H_2O$) بیشتر می‌شود که این امر

۲ نشان می‌دهد. با توجه به این شکل، با افزایش چگالی جریان، ولتاژ فعال‌سازی آند، کاتد و کل افزایش می‌یابد. دلیل این امر این است که، با مراجعه به روابط (۴۲) و (۴۳)، افت ولتاژ اکتویشن کاتد و آند با چگالی جریان نسبت مستقیم دارد.

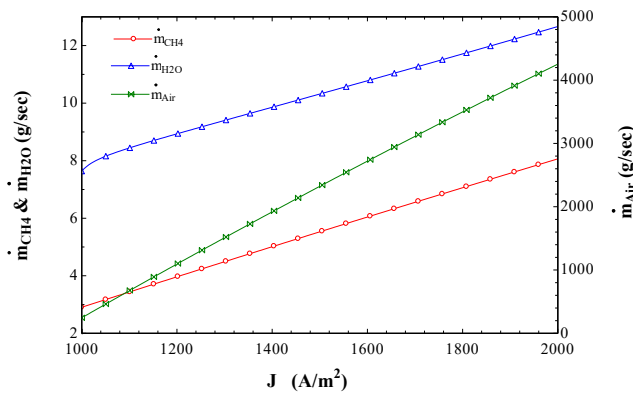
تغییرات افت ولتاژ غلظتی آند، کاتد و کل نیز بر حسب چگالی جریان به ازای دمای کاری پیل برابر با ۸۵۰ درجه سلسیوس، ضریب مصرف سوخت ۰/۸۵ و نسبت بخار به کربن برابر با ۲، در شکل ۳ نشان داده شده است. با مراجعه به شکل ۳، مشاهده می‌شود که با افزایش چگالی جریان، افت ولتاژ غلظتی بیشتر می‌شود. این رفتار را به این صورت می‌توان توجیه نمود که با افزایش چگالی جریان، اختلاف غلظت گونه‌های در سه ناحیه آند، کاتد و الکتورولیت شدیدتر می‌شود، که همین امر باعث افزایش هرچه بیشتر افت ولتاژ فعال‌سازی می‌گردد.

شکل ۴، تاثیر چگالی جریان را روی افت ولتاژ اهمیک و کل و



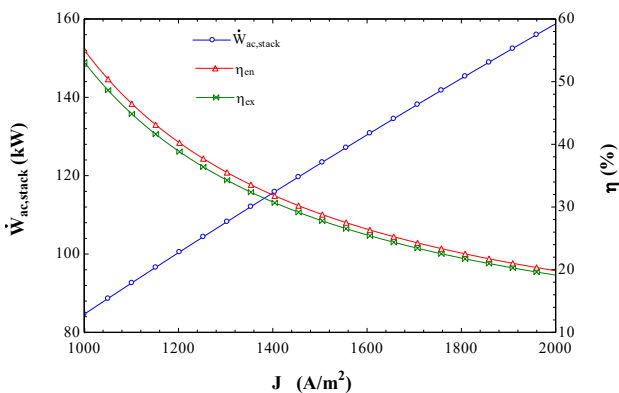
شکل ۴. تأثیر چگالی جریان روی افت ولتاژ اهمیک و کل و ولتاژ های نرنست و سلول پیل سوختی اکسید جامد، به ازای دمای کاری پیل برابر با ۸۵۰ درجه سلسیوس

Fig. 4. The current density effects on the ohmic and total voltage losses as well as the Nernst and cell voltages at the SOFC operating temperature of 850 °C



شکل ۵. تأثیر چگالی جریان روی دبی جرمی سوخت، آب و هوای ورودی به سیستم، به ازای دمای کاری پیل برابر با ۸۵۰ درجه سلسیوس

Fig. 5. The current density effects on the fuel, steam and air mass flow rates at the SOFC operating temperature of 850 °C



شکل ۶. تأثیر چگالی جریان روی توان تولیدی پیل سوختی، بازده انرژی و اگررژی سیستم، به ازای دمای کاری پیل برابر با ۸۵۰ درجه سلسیوس

Fig. 6. The current density effects on the power production and the system energy as well as the exergy efficiencies at the SOFC operating temperature of 850 °C

با در نظر گرفتن مقدار ثابت برای ضریب مصرف سوخت طبق رابطه

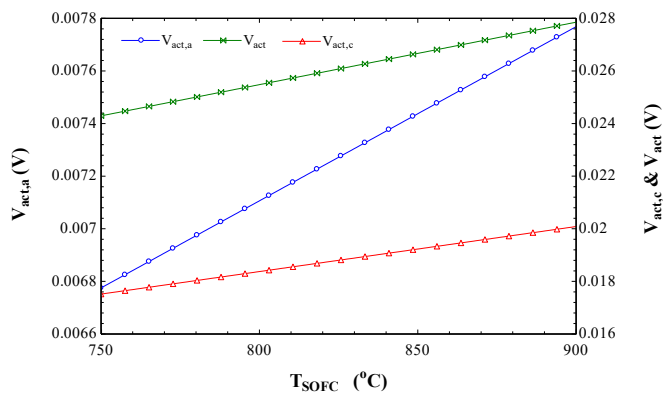
شکل ۶، نمودار تغییرات توان تولیدی پیل سوختی، بازده انرژی

و اگررژی سیستم را بر حسب چگالی جریان به ازای دمای کاری

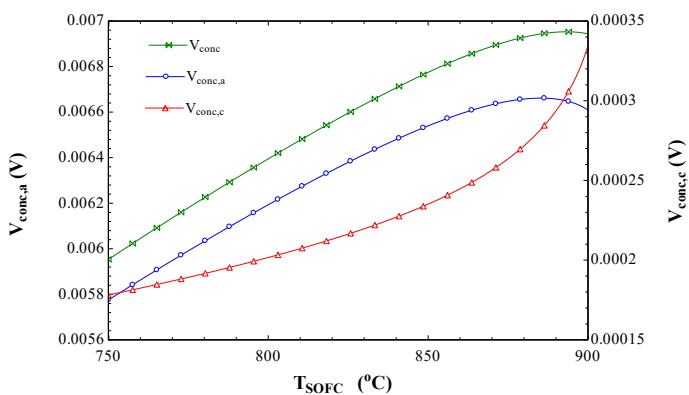
با در نظر گرفتن مقدار ثابت برای ضریب مصرف سوخت طبق رابطه

(۲۶)، افزایش دبی جرمی سوخت را به دنبال دارد. با افزایش دبی

جرمی سوخت، با توجه به مقادیر ثابت ضریب مصرف هوا و نسبت



شکل ۷. تاثیر دمای کاری پیل سوختی روی افت ولتاژ فعال سازی پیل سوختی اکسید جامد، به ازای چگالی جریان برابر با ۱۰۰۰ آمپر بر مترمربع
Fig. 7. The SOFC operating temperature effects on the activation voltage losses at the current density value of 1000 A/m²



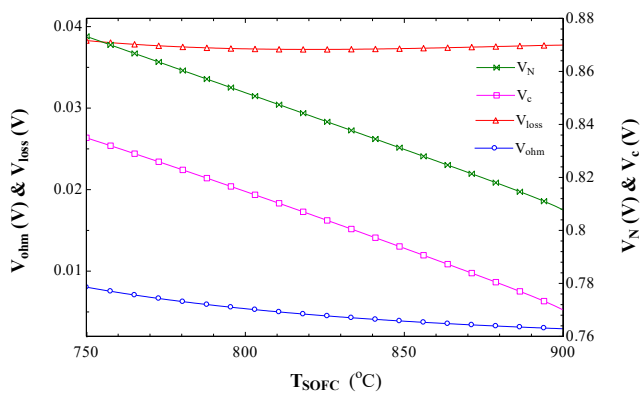
شکل ۸. تاثیر دمای کاری پیل سوختی روی افت ولتاژ غلظتی پیل سوختی اکسید جامد، به ازای چگالی جریان برابر با ۱۰۰۰ آمپر بر مترمربع
Fig. 8. The SOFC operating temperature effects on the concentration voltage losses at the current density value of 1000 A/m²

۶-۲- مطالعه پارامتریک تاثیر دمای کار پیل سوختی

شکل ۷، نمودار تغییرات افت ولتاژ فعال سازی آند، کاتد و کل را بر حسب دمای کاری پیل سوختی اکسید جامد نشان می‌دهد. مطابق با این شکل، با افزایش دمای کاری پیل سوختی، افت ولتاژ فعال سازی افزایش پیدا می‌کند، چرا که با توجه به روابط (۴۲) و (۴۳) افت ولتاژ فعال سازی با دمای پیل سوختی رابطه مستقیم دارد. همچنین، با توجه به روابط (۴۴) و (۴۵) و به همین دلیل، با افزایش چگالی جریان، افت ولتاژ غلظتی نیز افزایش پیدا می‌کند، که در شکل ۸ نشان داده شده است.

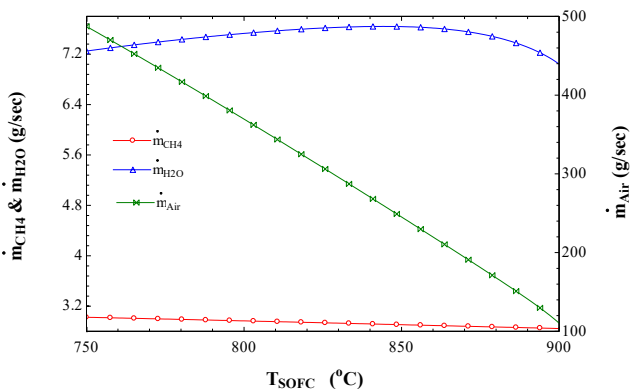
تاثیر دمای کاری پیل سوختی روی افت ولتاژ اهمیک و کل و همچنین ولتاژ نرنست و سلول به ازای به ازای چگالی جریان برابر با ۱۰۰۰ آمپر بر مترمربع، ضریب مصرف سوخت ۰/۸۵ و نسبت بخار به کربن برابر با ۲ نمایش داده شده است. با توجه به این

پیل برابر با ۸۵۰ درجه سلسیوس، ضریب مصرف سوخت ۰/۸۵ و نسبت بخار به کربن برابر با ۲، نشان می‌دهد. با مراجعه به این نمودار، با افزایش چگالی جریان، توان تولیدی پیل سوختی افزایش می‌یابد. دلیل این امر این است که، اگر چه با افزایش چگالی جریان همانطوری که در شکل ۴ نشان داده شد، ولتاژ تولیدی سلول کاهش می‌یابد، اما افزایش چگالی جریان به کاهش ولتاژ پیل غلبه کرده و در نتیجه توان تولید مطابق رابطه (۵۱) بیشتر می‌شود. از طرفی، همانطور که از شکل ۶ مشاهده می‌شود، با افزایش چگالی جریان، علی‌رغم افزایش توان تولیدی پیل سوختی، بازده انرژی و اگزرژی سیستم کاهش می‌یابد. دلیل این رفتار، غلبه افزایش دبی جرمی سوخت مصرفی نشان داده شده در شکل ۵ به توان تولیدی است، در نتیجه مطابق روابط (۵۰) و (۵۴) به ترتیب بازده انرژی و اگزرژی سیستم کاهش پیدا می‌کند.



شکل ۹. تأثیر دمای کاری پیل سوختی روی افت ولتاژ اهمیک و کل و همچنین ولتاژ نرنست و سلول، به ازای چگالی جریان برابر با $1000 \text{ آمپر بر مترمربع}$

Fig. 9. The SOFC operating temperature effects on the ohmic and total voltage losses as well as the Nernst and cell voltages at the current density value of 1000 A/m^2



شکل ۱۰. تأثیر دمای کاری پیل سوختی روی دبی جرمی سوخت، آب و هوای ورودی به سیستم، به ازای چگالی جریان برابر با $1000 \text{ آمپر بر مترمربع}$

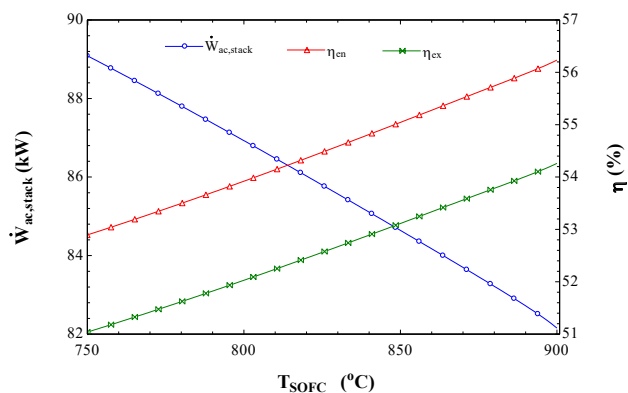
Fig. 10. The SOFC operating temperature effects on fuel, steam and air mass flow rates at the current density value of 1000 A/m^2

رونده این است که با افزایش دما، آنتالیی جریان‌های ورودی و خروجی آند و کاتد پیل بیشتر می‌شود، که با توجه به رابطه (۶۶-الف) بیان شده برای بالанс انرژی پیل، موجب کاهش دبی جرمی سوخت و هوای می‌گردد. همچنین، نمودار تغییرات توان تولیدی پیل سوختی، بازده انرژی و بازده اگزرزی سیستم پیشنهادی را بر حسب افزایش دمای کاری پیل به ازای چگالی جریان برابر با $1000 \text{ آمپر بر مترمربع}$ ، ضریب مصرف سوخت $85/80$ و نسبت بخار به کربن برابر با ۲، در شکل ۱۱ آورده شده است.

با توجه به این نمودار، با افزایش دمای کاری پیل سوختی، توان تولیدی آن کاهش پیدا می‌کند که دلیل آن افت ولتاژ سلول با بالا رفتن دمای کاری پیل است که در شکل ۹ نشان داده شد. همچنین، شکل ۱۱ نشان می‌دهد که با افزایش دمای کاری پیل سوختی اکسید جامد، علی‌رغم کاهش توان تولیدی پیل سوختی، بازده انرژی و

نمودار، با افزایش دمای کاری پیل سوختی، افت ولتاژ اهمیک کاهش پیدا می‌کند، که به دلیل ارتباط مستقیم دما با مقاومت‌های الکتریکی اجزای مختلف پیل سوختی است (مراجعه شود به روابط (۳۶) تا (۳۹)). با توجه به رفتار متفاوت انواع افت ولتاژ‌های فعل‌سازی و غلظتی که به ترتیب در شکل‌های ۷ و ۸ نشان داده است، با رفتار افت ولتاژ اهمیک، افت ولتاژ کل تقریباً ثابت می‌ماند که در شکل ۹ مشاهده می‌شود. از طرفی با افزایش دمای کاری پیل سوختی، ولتاژ نرنست کاهش می‌یابد، که به توجه به ثابت ماند افت ولتاژ کل، کاهش ولتاژ سلول را به دنبال دارد که در شکل ۹ نشان داده شده است.

شکل ۱۰، تغییرات دبی جرمی سوخت، آب و هوای ورودی به سیستم را بر حسب افزایش دمای کاری پیل سوختی نشان می‌دهد. با توجه به این شکل، با بالارفتن دمای کاری پیل سوختی، دبی جرمی سوخت مصرفی و هوای ورودی به سیستم کاهش پیدا می‌کند. دلیل این



شکل ۱۱. تأثیر دمای کاری پیل سوختی روی توان تولیدی پیل سوختی، بازده انرژی و اگزرزی سیستم، به ازای چگالی جریان برابر با ۱۰۰۰ آمپر بر مترمربع

Fig. 11. The SOFC operating temperature effects on the power production and the system energy as well as the exergy efficiencies at the current density value of 1000 A/m²

جدول ۴. نتایج حاصل از بهینه‌سازی سیستم تولید توان بر مبنای پیل سوختی اکسید جامد کوپل شده با فرآیند بهسازی سه‌گانه

Table. 4. The optimization results of the proposed SOFC system integrated with the external reforming

بهینه‌سازی تک‌هدفه بر مبنای بیشینه کردن بازده انرژی و یا بازده اگزرزی	پارامتر
۱۰۰۰	چگالی جریان (آمپر بر مترمربع)
۹۰۰	دمای کاری پیل سوختی (درجه سلسیوس)
۰/۸۵	ضریب مصرف سوخت
۸۴/۶۴	چگالی توان تولیدی (کیلووات بر مترمربع)
۲/۹۰۶	دبی جرمی سوخت مصرفی (گرم بر ثانیه)
۷/۶۳۸	دبی جرمی آب ورودی به سیستم (گرم بر ثانیه)
۲۴۵/۲	دبی جرمی هوای ورودی به سیستم (گرم بر ثانیه)
۵۵/۰۴	بازده انرژی (درصد)
۵۳/۱۱	بازده اگزرزی (درصد)
۹۴۹/۳	دمای بیشینه چرخه (درجه سلسیوس)
۶۷۹/۶	دمای ورودی پیل سوختی (درجه سلسیوس)
۶۷۹/۶	دمای ورودی بهساز (درجه سلسیوس)
۱۸۶/۴	دمای گازهای خروجی از سیستم (درجه سلسیوس)
۲۵۵/۸	دبی جرمی گازهای خروجی از سیستم (گرم بر ثانیه)
۰/۰۱۳۱۸ (۰/۰۲۴)	میزان برگشت‌ناپذیری در دمنده سوخت
۰/۰۲۸۲۸ (۰/۰۵۳)	میزان برگشت‌ناپذیری در دمنده هوا
۰/۰۰۰۲۳۶۸ (۰/۰۰۰۴)	میزان برگشت‌ناپذیری در پمپ آب
۱/۷۳۹ (۱/۲۲۴)	میزان برگشت‌ناپذیری در مبدل‌کن حرارتی شماره ۱
۱۲/۴ (۲۲/۱۵)	میزان برگشت‌ناپذیری در مبدل‌کن حرارتی شماره ۲
۱۱/۶۸ (۲۱/۸)	میزان برگشت‌ناپذیری در مبدل‌کن حرارتی شماره ۳
۶/۴۸۴ (۱۲/۷۸)	میزان برگشت‌ناپذیری در پیل سوختی
۳/۸۱۳ (۷/۱۱)	میزان برگشت‌ناپذیری در بهساز
۱۰/۰۲ (۱۸/۷)	میزان برگشت‌ناپذیری در پس سوز
۰/۰۰۵۲۰۲ (۰/۰۰۰۹۷)	میزان برگشت‌ناپذیری در دمنده
۴/۵۹ (۸/۵۶)	میزان برگشت‌ناپذیری مخلوط‌کن
۲/۵۴۱ (۴/۷۴)	میزان برگشت‌ناپذیری در مبدل جریان الکتریکی

فهرست علائم اختصاری

مساحت	A
فشار جزئی	a
پس سوز	AB
دمنده هوا	AC
مساحت سطح هر سلول پیل سوختی	A_c
بلوئر	Blw
دمنده	$Comp$
تعداد مول‌های اولیه هر المان	E
نرخ جريان اگزرژی	\dot{Ex}
ثبت فارادی	F
كمپرسور سوخت	FC
تابع گیبس	G, g
آناتالپی	h
مبادله کن حرارتی	HEX
اینورتر	inv
چگالی جريان	J
ارزش حرارتی بالای سوخت	LHV
دبی جرمی	\dot{m}
تعداد سلول پیل سوختی	N_c
دبی مولی	\dot{n}
نرخ تبدیل مولی واکنش کلی	or
فشار	P
ثبت جهانی گازها	\bar{R}
نرخ تبدیل مولی واکنش بهسازی	rr
بهساز	ref
آتریوبی	s
نرخ تبدیل مولی واکنش شیفتینگ	sr
دما	T
توربین	$Turb$
ضریب مصرف هوا	U_a
ضریب مصرف سوخت	U_F
افت ولتاژ فعال‌سازی	V_{act}
افت ولتاژ غلطی	V_{conc}

اگزرژی سیستم افزایش می‌یابد. این امر را به این صورت می‌توان توجیه نمود که کاهش دبی جرمی سوخت مصرفی با افزایش دمای کاری پیل سوختی (مراجعه شود به شکل ۱۰) بر کاهش توان تولیدی آن غلبه پیدا می‌کند و باعث بهبود بازده سیستم می‌شود.

۶-۳- بهینه‌سازی سیستم

در این بخش نتایج حاصل از بهینه‌سازی سیستم بر مبنای بیشینه کردن بازده انرژی سیستم ارائه می‌شود. نتایج حاصل از بهینه‌سازی سیستم نشان می‌دهد که در شرایط بهینه، بازده انرژی و بازده اگزرژی همزمان به بیشینه مقدار خود می‌رسند مقادیر پارامترهای طراحی و همچنین شاخصه‌های عملکردی سیستم در نقطه طراحی بهینه به ترتیب در جدول ۴ ارائه شده‌اند.

نتیجه‌گیری

- یک سیستم تولید توان بر مبنای پیل سوختی اکسید جامد کوپل شده با فرآیند بهسازی خارجی سه‌گانه از طریق بازخواری گازهای خروجی سیستم، پیشنهاد شده و از دیدگاه ترمودینامیکی مورد بررسی قرار گرفت. تاثیر پارامترهای مهم سیستم شامل چگالی جريان، دمای کاری پیل سوختی و ضریب مصرف سوخت روی عملکرد سیستم از دیدگاه الکتروشیمیایی، انرژی و اگزرژی مطالعه گردید. مهمترین نتایج حاصل از این کار به قرار زیر می‌باشد:
- به ازای شرایط ثابت ترمودینامیکی و درصد مشخصی از بازخوارانی گازهای خروجی سیستم، با افزایش چگالی جريان، علیرغم افزایش توان تولیدی سیستم، بازده انرژی و اگزرژی سیستم کاهش پیدا می‌کند.
- به ازای مقادیر ثابت چگالی جريان، ضریب مصرف سوخت و درصد بازخوارانی گازهای خروجی احتراق، با افزایش دمای کارکردی پیل سوختی، کاهش دبی جرمی سوخت مصرفی به کاهش توان تولیدی سیستم غلبه کرده؛ که بهبود عملکرد سیستم از دیدگاه انرژی و اگزرژی را به دنبال دارد.
- با افزایش ضریب مصرف سوخت، دبی جرمی متان ورودی به سیستم کاهش می‌یابد و علیرغم کاهش توان تولیدی سیستم، سبب افزایش بازده ترمودینامیکی آن می‌شود.

- Analysis of an ethanol-fuelled solid oxide fuel cell system using partial anode exhaust gas recirculation, *Journal of Power Sources*, 208 (2012) 120–130.
- [6] M. Liu, A. Lanzini, W. Halliop, V. R. M. Cobas, A. H. M. Verkooijen, and P. V. Aravind, Anode recirculation behavior of a solid oxide fuel cell system: A safety analysis and a performance optimization, *International Journal of Hydrogen Energy*, 38 (6) (2013) 2868–2883.
- [7] M. Lo Faro, A. Vita, L. Pino, and A. S. Aricò, Performance evaluation of a solid oxide fuel cell coupled to an external biogas tri-reforming process, *Fuel Processing Technology*, 115 (2013) 238–245.
- [8] M. R. Walluk, J. Lin, M. G. Waller, D. F. Smith, and T. A. Trabold, Diesel auto-thermal reforming for solid oxide fuel cell systems: Anode off-gas recycle simulation, *Applied Energy*, 130 (2014) 94–102.
- [9] M. Rokni, Thermodynamic analyses of municipal solid waste gasification plant integrated with solid oxide fuel cell and Stirling hybrid system, *International Journal of Hydrogen Energy*, 40 (24) (2015) 7855–7869.
- [10] Wahl, Stefanie, Ana Gallet Segarra, Peter Horstmann, Maxime Carre, Wolfgang G. Bessler, François Lapicque, and K. Andreas Friedrich. "Modeling of a thermally integrated 10 kWe planar solid oxide fuel cell system with anode offgas recycling and internal reforming by discretization in flow direction." *Journal of Power Sources* 279 (2015): 656-666.
- [11] Manenti, Flavio, Renato Pelosato, Paolo Vallevi, Andres Ricardo Leon-Garzon, Giovanni Dotelli, Antonio Vita, Massimiliano Lo Faro, Gaetano Maggio, Lidia Pino, and Antonino S. Aricò. "Biogas-fed solid oxide fuel cell (SOFC) coupled to tri-reforming process: Modelling and simulation." *international journal of hydrogen energy* 40, no. 42 (2015): 14640-14650.
- [12] K. Wiranarongkorn and S. Authayanun, ScienceDirect Analysis of thermally coupling steam and tri-reforming processes for the production of hydrogen from bio-oil, *International Journal of Hydrogen Energy*, 41(41) (2016) 18370–18379.
- [13] L. Barelli, G. Bidini, G. Cinti, F. Gallorini, and M. Piçin,

ولتاژ نرنسن	V_n
افت ولتاژ اهمیک	V_{ohm}
توان	\dot{W}
کسر مولی	y

Subscripts

اگززی فیزیکی	ph
اگززی شیمیایی	ch
اُرژی	en
اگززی	ex
آیزونتروپیک	is

Greek symbols

بازدہ	η
پتانسیل شیمیایی	μ
چگالی	ρ

مراجع

- [1] M. Halmann and A. Steinfeld, Fuel saving, carbon dioxide emission avoidance, and syngas production by tri-reforming of flue gases from coal- and gas-fired power stations, and by the carbothermic reduction of iron oxide, *Energy*, 31(15) (2006) 3171–3185.
- [2] M. Sadeghi, A. Chitsaz, S. M. S. Mahmoudi, and M. A. Rosen, Thermo-economic optimization using an evolutionary algorithm of a trigeneration system driven by a solid oxide fuel cell, *Energy*, 89 (2015) 191–204.
- [3] R. Dietrich, J. Oelze, A. Lindermeir, C. Spitta, M. Steffen, T. Küster, S. Chen, C. Schlitzberger, and R. Leithner, Efficiency gain of solid oxide fuel cell systems by using anode offgas recycle - Results for a small scale propane driven unit, *Journal of Power Sources*, 196 (17) (2011) 7152–7160.
- [4] S. Wongchanapai, H. Iwai, M. Saito, and H. Yoshida, Performance evaluation of an integrated small-scale SOFC-biomass gasification power generation system, *Journal of Power Sources*, 216 (2012) 314–322.
- [5] D. Saebea, Y. Patcharavorachot, and A. Arpornwichanop,

- integrated with a Stirling engine, *Energy Conversion and Management*, 143 (2017) 448–458.
- [23] S. M. S. Mahmoudi and L. Khani, Thermodynamic and exergoeconomic assessments of a new solid oxide fuel cell-gas turbine cogeneration system, *Energy Conversion and Management*, 123 (2016) 324–337.
- [24] C. O. Colpan, I. Dincer, and F. Hamdullahpur, Thermodynamic modeling of direct internal reforming solid oxide fuel cells operating with syngas, *International Journal of Hydrogen Energy*, 32 (7) (2007) 787–795.
- [25] S. H. Chan, C. F. Low, and O. L. Ding, Energy and exergy analysis of simple solid-oxide fuel-cell power systems, *Journal of Power Sources*, 103 (2) (2002) 188–200.
- [26] M. Sadeghi, S. M. S. Mahmoudi, and R. Khoshbakhti Saray, Exergoeconomic analysis and multi-objective optimization of an ejector refrigeration cycle powered by an internal combustion (HCCI) engine, *Energy Conversion and Management*, 96 (2015) 403–417.
- [27] M. Sadeghi, M. Yari, S. M. S. Mahmoudi, and M. Jafari, Thermodynamic analysis and optimization of a novel combined power and ejector refrigeration cycle – Desalination system, *Applied Energy*, 208 (2017) 239–251.
- [28] A. Nemati, M. Sadeghi, and M. Yari, Exergoeconomic analysis and multi-objective optimization of a marine engine waste heat driven RO desalination system integrated with an organic Rankine cycle using zeotropic working fluid, *Desalination*, 422 (2017) 113–123.
- [29] M. Sadeghi, A. Nemati, A. ghavimi, and M. Yari, Thermodynamic analysis and multi-objective optimization of various ORC (organic Rankine cycle) configurations using zeotropic mixtures, *Energy*, 109 (2016) 791–802.
- [30] Tao G, Armstrong T, Virkar A , Intermediate temperature solid oxide fuel cell (IT-SOFC) research and development activities at MSRI, *Ninet. Annu. ACERC&ICES Conf. Utah*, (2005).
- SOFC stack coupled with dry reforming, *Applied Energy*, 192 (2017) 498–507.
- [14] A. S. Mehr et al, Solar-assisted integrated biogas solid oxide fuel cell (SOFC) installation in wastewater treatment plant: Energy and economic analysis, *Applied Energy*, 191 (2017) 620–638.
- [15] M. Rokni, Addressing fuel recycling in solid oxide fuel cell systems fed by alternative fuels, *Energy*, 137 (2017) 1013–1025.
- [16] N. Chatrattanawet, D. Saebea, S. Authayanun, A. Arpornwichanop, and Y. Patcharavorachot, Performance and environmental study of a biogas-fuelled solid oxide fuel cell with different reforming approaches, *Energy*, 146 (2018) 131–140.
- [17] A. Chitsaz, M. Sadeghi, M. Sadeghi, and E. Ghanbarloo, Exergoenvironmental comparison of internal reforming against external reforming in a cogeneration system based on solid oxide fuel cell using an evolutionary algorithm, *Energy*, 144 (2018) 420–431.
- [18] M. Sadeghi, M. Jafari, M. Yari, and S. M. S. Mahmoudi, Exergoeconomic assessment and optimization of a syngas production system with a desired H₂/CO ratio based on methane tri-reforming process, *Journal of CO₂ Utilization.*, 25 (2018) 283–301.
- [19] Sanford, Klein, Thermodynamics/S. Klein, G. Nellis." New York: Cambridge, (2012).
- [20] F. Ranjbar, A. Chitsaz, S. M. S. Mahmoudi, S. Khalilarya, and M. A. Rosen, Energy and exergy assessments of a novel trigeneration system based on a solid oxide fuel cell, *Energy Conversion and Management*, 87 (2014) 318–327.
- [21] M. Sadeghi, A. S. Mehr, M. Zar, and M. Santarelli, Multi-objective optimization of a novel syngas fed SOFC power plant using a downdraft gasifier, *Energy*, 148 (2018) 16–31.
- [22] J. Hosseinpour, M. Sadeghi, A. Chitsaz, F. Ranjbar, and M. A. Rosen, Exergy assessment and optimization of a cogeneration system based on a solid oxide fuel cell

چگونه به این مقاله ارجاع دهیم

M. Jafari, M. Sadeghi, S.M.S Mahmoudi, M. Yari, Thermodynamic Analysis of Power Generation System Based on Solid Oxide Fuel Cell With External Reforming, Amirkabir J. Mech Eng., 53(Special Issue 1) (2021) 605-622.

DOI: 10.22060/mej.2019.16125.6279



